

**ВЛИЯНИЕ СЛАБОГО МАГНИТНОГО ПОЛЯ НИЗКОЙ
ЧАСТОТЫ НА ВЕЛИЧИНУ ВЕРОЯТНОСТИ
РЕКОМБИНАЦИИ РАДИКАЛЬНЫХ ПАР**

**Шигаев А.С., Сусак И.П., Пономарёв О.А., Кубарев С.И.,
Кубарева И.С., Фесенко Е.Е.**

(Пушино, Томск, Москва)

Получена зависимость вероятности рекомбинации радикальных пар от низкоинтенсивного магнитного поля. Показано, что она является резко выраженной и немонотонной.

**THE EFFECT OF WEAK AND LOW-FREQUENCY
MAGNETIC FIELD ON RADICAL PAIR RECOMBINATION
PROBABILITY**

**Shigaev A.S., Susak I.P., Ponomarev O.A., Kubarev S.I., Ku-
bareva I.S., Fesenko E.E.**

(Pushchino, Tomsk, Moscow)

The dependence radical pair recombination probability on low-intensity magnetic fields, which is very well defined and non-monotone is presented.

Введение.

Широкое применение электромагнитного облучения при лечении больных, а также экологические проблемы от технического электромагнитного излучения (ЭМИ) делают чрезвычайно актуальной постановку исследований физических процессов в живых организмах в присутствии внешних полей и разработку на их основе методов и средств прогноза. Отсутствие механизмов проявления «биологического эффекта» при воздействии магнитных полей на сложные системы заставило нас обратиться к исследованию процессов, механизм которых достаточно хорошо изучен, например рекомбинации радикальных пар, и имеет отношение к процессам, происходящим в живых системах. В

настоящее время получены экспериментальные и теоретические результаты значительно продвинувшие решение такой задачи [1-6]. К наиболее непонятным явлениям относятся резонансное изменение эффекта от амплитуды переменного поля, обязательное наличие постоянного и переменного полей даже в случае их одинаковой направленности, рост эффекта при уменьшении постоянного поля, обнаруженные при исследованиях [2].

Очень интересно исследование [7] изменения скорости РОЭ крови человека и животных в зависимости от параметров слабого переменного магнитного поля инфранизкого диапазона частот: напряженности, частоты, градиента, вектора направления. Сделан вывод, что природа его не может быть выяснена на уровне макросил (пандемоторной или силой Лоренца) либо с помощью индукционных токов или магнитогидродинамических эффектов, поскольку все эти действия усиливаются с ростом напряженности поля, что противоречит экспериментальным данным, полученным для эффекта, когда эффект усиливается с уменьшением поля.

Влияние на процессы оказывают магнитные поля в диапазонах частот от единиц Гц до десятков Гц, в области кГц и МГц. Отмечена отчётливая связь этих электромагнитных полей с конкретными физико-химическими процессами.

Однако механизмы этого влияния до сих пор неизвестны [4, 6]. Без сомнения магнитное поле влияет на биохимические реакции и это влияние далее трансформируется в виде макроскопических эффектов на клеточном и организменном уровнях. Многие элементарные процессы, исследованные в химической кинетике, являются составной частью биохимических реакций [8 – 11]. Выяснение механизмов влияния магнитных полей на эти процессы позволило поставить на прочный научный фундамент проблему влияния магнитных полей не только в кинетике химических реакций, но и по новому осветить проблемы магнитобиологии и магнитомедицины. Не исключено, что в сложных биологических системах со временем будут открыты новые механизмы влияния магнитных полей, однако не следует пренебрегать известными ранее механизмами [12, 13].

Указанные процессы наблюдались во многих экспериментах и могут быть связаны также и с перемещением ядер. Поэтому в

данной работе мы учитываем, что движения ядер (не только колебания, но и вращения, которые более существенны) влияют на процессы в спиновых системах.

Целью работы является выяснение влияния движения ядер, амплитуды постоянного, частоты и амплитуды переменного магнитных полей на вероятность рекомбинации радикальной пары.

Расчёт магнитных эффектов от слабого магнитного поля экстремально низкой частоты на величину вероятности рекомбинации радикальных пар.

Рассматривается простейший случай рекомбинации радикальных пар. Слабые статические и экстремально низкочастотные магнитные поля воздействуют на живые системы. Во многих случаях для магнитобиологических откликов имеют место резонансы, которые появляются при изменении частоты и амплитуды переменного поля и изменения величины постоянного поля.

Поскольку природа магнитобиологических эффектов не ясна, мы решили использовать эффект с ясным физическим смыслом – рекомбинацию радикальных пар, и выяснить, не проявляются ли для этого процесса такие же свойства, как и для биологических систем

Исходным является стохастическое уравнение Лиувилля, которое описывает временное изменение спиновых систем

$$\frac{\partial \rho}{\partial t} = i[H_0, \rho] - H_d \rho - H_s (P_s \rho - \rho P_s) - H_T (P_T \rho - \rho P_T). \quad (1)$$

Здесь H_0 имеет вид

$$H_0 = \sum_{\alpha, \beta} Q^{\alpha\beta} S_1^\alpha S_2^\beta - \sum \varepsilon_{\alpha\beta\gamma} [A_{1q\beta\gamma} S_1^\alpha + A_{2q\beta\gamma} S_2^\alpha] (r_{q\beta}(0) r_{q\gamma}(0)) \omega_{q\gamma}^2 |t| \cdot \exp \left[-\frac{\omega_{q\beta}^2 + \omega_{q\gamma}^2}{2} t^2 \right] + g_1 \beta \sum_{\alpha} H_{\alpha}(t) S_1^\alpha + g_2 \beta \sum_{\alpha} H_{\alpha}(t) S_2^\alpha, \quad (2)$$

$Q^{\alpha\beta}$ – параметр, описывающий энергию взаимодействия двух спинов (частиц, радикалов, и пр.), β – магнетон Бора, $r_{i\alpha}$ – α –проекция векторной координаты (радиус-вектора) i – го электрона; S_1^α и S_2^β – α – и β – проекции 1-го и 2-го спинов,

$\mathcal{E}_{\alpha\beta\gamma}$ – полностью антисимметричный единичный тензор 3-го ранга, $A_{1q\beta\gamma}$ и $A_{2q\beta\gamma}$ – параметры, описывающие связи 1-го и 2-го спинов соответственно с β –проекцией движения q -го ядра, $r_{q\beta}(0)$ и $r_{q\gamma}(0)$ – β – и γ –проекции векторных координат q -го ядра в нулевой момент времени, $\omega_{q\gamma}$, $\omega_{q\beta}$ и $\omega_{q\omega}$ – частота колебаний q -го ядра соответственно в направлениях γ , β и ω , g_1 и g_2 – g –факторы 1-го и 2-го спинов, $H_\alpha(t)$ – α –проекция зависящей от времени магнитной составляющей электромагнитного поля, ρ – матрица спиновой плотности, H_d – константа скорости диссоциации, H_S, H_T – константы скорости рекомбинации по синглетному и триплетному каналам соответственно, P_S, P_T – операторы проектирования на синглетные и триплетные состояния.

Далее рассматриваем синглетный канал и вычисляем вероятность рекомбинации радикальной пары

$$W_S = 2H_S \int_0^{\infty} Sp(P_S \rho) dt, \quad (3)$$

где Sp – шпур, или сумма диагональных элементов матрицы $P_S \rho$.

Выберем базис $\psi_1(x) = |1\rangle = |S\rangle$ – синглетное состояние, $\psi_2(x) = |2\rangle = |T_0\rangle$, $\psi_3(x) = |3\rangle = |T_+\rangle$, $\psi_4(x) = |4\rangle = |T_-\rangle$ – триплетные состояния с нулевой проекцией суммарного спина, правым и левым вращением соответственно, и введем вспомогательные функции

$$G_{nm}(t) = \langle n | U(t) | m \rangle, \quad G_{nm}(0) = \delta_{nm},$$

Здесь $\langle n | U(t) | m \rangle = \int \psi_n^*(x) \cdot U(t) \psi_m(x) d^3x$.

Оператор $U(t)$ – оператор эволюции, удовлетворяет уравнению

$$i \frac{d}{dt} U = H(t)U(t), \quad U(0) = 1, \quad (4)$$

Решение этого уравнения имеет вид

$$U(t) = T \exp \left\{ -i \int_0^t H(t) dt \right\}, \quad (5)$$

где T – оператор упорядочения по времени.

Тогда $\rho(t) = U(t)\rho(0)U^*(t)$ для начального условия $\rho(0) = |1\rangle\langle 1| = \psi_1(x) \cdot \psi_1^*(x)$.

Выбор такого начального условия означает, что в начальный момент система находится в синглетном состоянии. Теперь

$$\langle 1|\rho(t)|1\rangle = \langle 1|U(t)|1\rangle\langle 1|U^*(t)|1\rangle = |G_{11}(t)|^2, \quad (6)$$

и для его определения имеем систему уравнений [14, 15]

$$i \frac{d}{dt} G_{nm}(t) = \sum_q H_{nq}(t)G_{qm}, \quad n, q, m = 1, 2, 3, 4. \quad (7)$$

Учитывая, что в большинстве случаев $Q^{\alpha\beta}$ пропорциональна $\delta_{\alpha\beta}$, направляя магнитное поле вдоль оси z и вводя обозначения $S_1^+ = S_1^x + iS_1^y$ и $S_1^- = S_1^x - iS_1^y$, перепишем гамильтониан в виде

$$H = \omega_0^{(1)} S_1^z + \omega_0^{(2)} S_1^z + \sum_{\alpha} Q^{\alpha\alpha} S_1^{\alpha} S_2^{\alpha} + \frac{1}{2} f_1(t) S_1^+ + \frac{1}{2} f_1^*(t) S_1^- + \frac{1}{2} f_2(t) S_2^+ + \frac{1}{2} f_2^*(t) S_2^- - iH_S P_S - i\frac{1}{2} H_d - iH_T P_T, \quad (8)$$

где

$$\omega_0^{(1)} = \frac{g_1}{g_0} (H_0 + \delta H_2(t)) + \sum_{q,\beta\gamma} \varepsilon_{3\beta\gamma} A_{q\beta\gamma} r_{q\beta}(0) r_{q\gamma}(0) \omega_{q\gamma}^2 t \cdot \exp \left\{ -\frac{\omega_{q\beta}^2 + \omega_{q\gamma}^2}{2} t^2 \right\}, \quad (9)$$

$$\delta H_2 = H_2 \cos \omega_2 t,$$

$$\omega_0^{(2)} = \frac{g_2}{g_0} (H_0 + \delta H_2(t)) + \sum_{q,\beta\gamma} \varepsilon_{3\beta\gamma} A_{2q\beta\gamma} r_{q\beta}(0) r_{q\gamma}(0) \omega_{q\gamma}^2 t \cdot \exp \left\{ -\frac{\omega_{q\beta}^2 + \omega_{q\gamma}^2}{2} t^2 \right\},$$

(10)

$$f_1(t) = \frac{g_1}{g_0} H_1 \cdot \exp[-i\omega_1 t] + 2 \sum_{q, \beta\gamma} (\varepsilon_{1\beta\gamma} - i\varepsilon_{2\beta\gamma}) A_{1q\beta\gamma} z_q(0) r_{q\gamma}(0) \omega_{q\gamma}^2 t \cdot \exp\left\{-\frac{\omega_{q\beta}^2 + \omega_{q\gamma}^2}{2} t^2\right\},$$

(11)

$$f_2(t) = \frac{g_2}{g_0} H_1 \cdot \exp[-i\omega_1 t] + 2 \sum_{q, \beta\gamma} (\varepsilon_{1\beta\gamma} - i\varepsilon_{2\beta\gamma}) A_{2q\beta\gamma} z_q(0) r_{q\gamma}(0) \omega_{q\gamma}^2 t \cdot \exp\left\{-\frac{\omega_{q\beta}^2 + \omega_{q\gamma}^2}{2} t^2\right\}, \quad t > 0,$$

(12)

g_0 – среднее арифметическое g_2 и g_1 , H_0, H_2 – амплитуды постоянного и переменного магнитных полей, направленных вдоль оси z соответственно, H_1 – амплитуда переменного поля, направленного перпендикулярно оси z . Здесь использована система единиц, где энергия выражена в магнитных единицах. Далее полагаем $H_T = 0$. Для гамильтониана (8) матрица H_{nm} в указанном выше базисе имеет вид

$$\|H_{nm}\| = \begin{vmatrix} \frac{Q^{xx} + Q^{yy} + Q^{zz}}{4} - & \frac{\omega_0^{(1)} - \omega_0^{(2)}}{2} & \frac{f_2^* - f_1^*}{2\sqrt{2}} & \frac{f_1 - f_2}{2\sqrt{2}} \\ -iH_s - \frac{iH_d}{2} & & & \\ \frac{\omega_0^{(1)} - \omega_0^{(2)}}{2} & -\frac{Q^{xx} + Q^{yy} + Q^{zz}}{4} - & \frac{f_2^* + f_1^*}{2\sqrt{2}} & \frac{f_2 + f_1}{2\sqrt{2}} \\ -\frac{iH_d}{2} & & & \\ \frac{f_2 - f_1}{2\sqrt{2}} & \frac{f_2 + f_1}{2\sqrt{2}} & \frac{\omega_0^{(1)} + \omega_0^{(2)}}{2} + & \frac{Q^{xx} - Q^{yy}}{4} \\ & & + \frac{Q}{4} - i\frac{H_d}{2} & \\ \frac{f_1^* - f_2^*}{2\sqrt{2}} & \frac{f_2^* + f_1^*}{2\sqrt{2}} & \frac{Q^{xx} - Q^{yy}}{4} & -\frac{\omega_0^{(1)} + \omega_0^{(2)}}{2} + \\ & & & + \frac{Q}{4} - i\frac{H_d}{2} \end{vmatrix}$$

(13)

Далее, путём подбора внешнего взаимодействия и выбора системы, добиваемся того, что $f_1 = 0$ и $f_2 = 0$. Тогда матрица $\|H_{nm}\|$ распадается на блоки, а система уравнений (7) – на две подсистемы из двух дифференциальных уравнений, одна из которых имеет вид

$$\begin{aligned} i \frac{d}{dt} G_{1m} &= H_{11} G_{1m} + H_{12} G_{2m}, \\ i \frac{d}{dt} G_{2m} &= H_{21} G_{1m} + H_{22} G_{2m}, \end{aligned} \quad (14)$$

а вторая

$$\begin{aligned} i \frac{d}{dt} G_{3m} &= H_{33} G_{3m} + H_{34} G_{4m}, \\ i \frac{d}{dt} G_{4m} &= H_{43} G_{3m} + H_{44} G_{4m}. \end{aligned} \quad (15)$$

Используя приближённое решение системы (14) при условии, что $G_{11}(0) = 1$, $G_{21}(0) = 0$ и $Q^{xx} = Q^{yy} = 0$ (модель Изинга), имеем

$$\begin{aligned} \rho_{ss}(t) &= |G_{11}(t)|^2 = \\ &= \frac{1}{2} \exp[-H_s t - H_d t] \cdot \left\{ 1 + \cos \left[\frac{g_1 - g_2}{g_0} H_0 t - \frac{g_1 - g_2}{g_0} \frac{H_2}{\omega_2} \sin \omega_2 t + \varphi(t) \right] \right\} = \\ &= \frac{1}{2} \exp[-H_s t - H_d t] \cdot \left(1 + \frac{1}{2} \left[\exp \left[i \frac{g_1 - g_2}{g_0} H_0 t + i \varphi(t) - i \frac{g_1 - g_2}{g_0} \frac{H_2}{\omega_2} \sin \omega_2 t \right] + K. C. \right] \right), \end{aligned} \quad (16)$$

где

$$\varphi(t) = \sum_{q\beta\gamma} \varepsilon_{3q\beta\gamma} (A_{q\beta\gamma} - A_{2q\beta\gamma}) r_{q\beta}(0) r_{q\gamma}(0) \frac{\omega_{q\gamma}^2}{\omega_{q\beta}^2 + \omega_{q\gamma}^2} \left(1 - \exp \left[-\frac{\omega_{q\beta}^2 + \omega_{q\gamma}^2}{2} t^2 \right] \right).$$

При получении этого решения предположено, что производные по времени от переменных полей можно пренебречь по сравнению с величиной квадрата самих полей.

Воспользовавшись представлением

$$\exp[\pm iz \sin \varphi] = J_0(z) + 2 \sum_1^{\infty} J_{2k}(z) \cos 2k\varphi \pm 2i \sum_0^{\infty} J_{2k+1}(z) \sin(2k+1)\varphi,$$

где $J_k(z)$ – функции Бесселя, перепишем (16) в виде

$$\rho_{ss}(t) = \frac{1}{2} \exp[-H_s t - H_d t] \left\{ 1 + \cos(h_0 \omega_2 t + \varphi) \left[J_0(h_2) + 2 \sum_{k=1}^{\infty} J_{2k}(h_2) \cos 2k\omega_2 t \right] + \right. \\ \left. + 2 \sin(h_0 \omega_2 t + \varphi) \sum_1^{\infty} J_{2k+1}(h_2) \sin \omega_2 t \right\},$$

$$\text{где } h_2 = \frac{g_1 - g_2}{g_0} \frac{H_2}{\omega_2}, \quad h_0 = \frac{g_1 - g_2}{g_0} \frac{H_0}{\omega_2}.$$

Вероятность рекомбинации радикальной пары в приближении больших времён, когда $\varphi = \varphi(\infty)$, равна

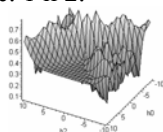
$$W_s = 2H_s \int_0^{\infty} dt \rho_{ss}(t) = \\ = \frac{1}{2} \frac{H_s}{H_s + H_d} + \frac{1}{2} J_0(h_2) \frac{H_s ((H_s + H_d) \cos \varphi - h_0 \omega_2 \sin \varphi)}{h_0^2 \omega_2^2 + (H_s + H_d)^2} + \sum_{k=1}^{\infty} J_{2k}(h_2) \cdot \\ \cdot \left[\frac{H_s ((H_s + H_d) \cos \varphi - (h_0 + 2k) \omega_2 \sin \varphi)}{(H_s + H_d)^2 + (h_0 + 2k)^2 \omega_2^2} + \frac{H_s ((H_s + H_d) \cos \varphi - (h_0 - 2k) \omega_2 \sin \varphi)}{(H_s + H_d)^2 + (h_0 - 2k)^2 \omega_2^2} \right] + \\ + \sum_{k=0}^{\infty} J_{2k+1}(h_2) \left[\frac{H_s ((H_s + H_d) \cos \varphi - (h_0 - 2k - 1) \omega_2 \sin \varphi)}{(H_s + H_d)^2 + (h_0 - 2k - 1)^2 \omega_2^2} - \right. \\ \left. - \frac{H_s ((H_s + H_d) \cos \varphi - (h_0 + 2k + 1) \omega_2 \sin \varphi)}{(H_s + H_d)^2 + (h_0 + 2k + 1)^2 \omega_2^2} \right]. \quad (17)$$

Обсудим полученные результаты. Выражение (17) имеет максимумы в точках $h_{0\rho} = \pm 2k$.

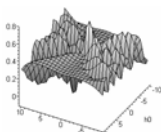
Заметим, что каждый резонанс входит с весом, определяемым функцией Бесселя соответствующего индекса и зависит от

частоты и амплитуды переменного поля. Общая картина изменения вероятности рекомбинации РП приведена на рис. 1 и определяется суммой функций Бесселя.

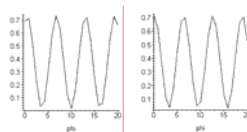
а). *Влияние движения ядер.* Влияние движения ядер проявляется через сдвиг фазы $\varphi(t)$ и приводит к искажению лоренцевой формы резонанса, не меняя зависимости от магнитного поля H_2 и несколько изменяя величину резонанса. Это хорошо видно на рис. 1 и 2.



а) $\varphi = 0$.



б) $\varphi = 4$.



а) $h_0 = 4$. б) $h_0 = 5$.

Рис. 1. Изменение вероятности рекомбинации радикальной пары (РП) в зависимости от амплитуд постоянного и переменного магнитного поля.

Рис. 2. Зависимость вероятности рекомбинации РП от скорости движения ядер.

б). *Влияние амплитуды H_0 .* Зависимость эффекта от H_0 – резонансная. Амплитуда H_0 определяет номер резонанса и его вес, связанный с функцией Бесселя с определенным индексом. То есть ей определяется зависимость эффекта от переменного магнитного поля. Так как $J_0(h_2)$ и $J_2(h_2)$, $J_4(h_2)$ по-разному ведут себя с уменьшением переменного магнитного поля, то H_0 может изменить знак эффекта. Более того, так как $J_0(h_2)$ возрастает с уменьшением h_2 , то эффект растет с уменьшением воздействия, причем H_0 при этом тоже должно уменьшаться, чтобы эффект возрастал. Поле H_0 состоит из двух составляющих: поля земного магнетизма (около 10^{-5} Т) и лабораторного поля. Поэтому чтобы на герцовых частотах выйти на резонанс с весом $J_0(h_2)$ необходимо экранировать систему от магнитного поля Земли и выключить лабораторное поле. Сравнение эффекта при $H_0=0$ и $H_0 \neq 0$ приведено на рис. 3, 5.

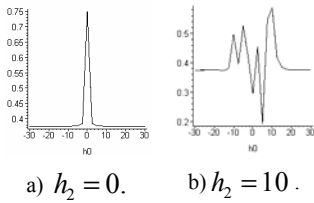


Рис. 3. Зависимость вероятности рекомбинации РП от амплитуды постоянного магнитного поля.

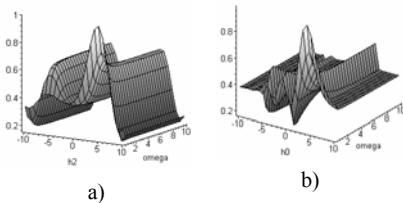


Рис. 4. Зависимость вероятности рекомбинации РП от частоты переменного поля и амплитуды переменного поля (а), и постоянного поля (б).

в). *Влияние частоты переменного поля.* Она разделяет область малых и больших полей. С ростом частоты граница раздела смещается в сторону увеличения напряженности полей H_0 и H_2 . Если мы хотим иметь максимальный эффект, то частота и H_0 должны быть связаны между собой «циклотронной» формулой [16].

$$\omega = \frac{eH_0}{M_k c}, \text{ где } M_k = \frac{4mk g_0}{|g_1 - g_2|}, \quad k = 1, 2, \dots \quad (18)$$

г). *Влияние амплитуды переменного поля.* Зависимость от H_2 – резонансная. Величина H_2 входит в выражении в комбинации $\left(\frac{H_2}{\omega_2}\right)$. Поэтому уменьшение частоты эквивалентно увеличению амплитуды поля и наоборот (рис. 4.).

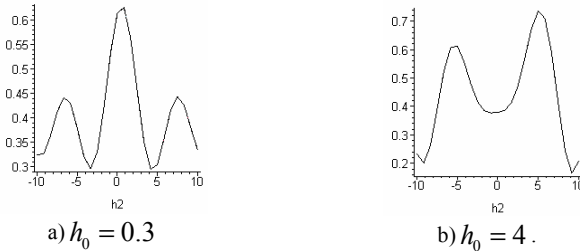


Рис. 5. Зависимость вероятности рекомбинации РП от амплитуды переменного поля для малых (а) и больших (б) амплитуд постоянного поля.

При $H_2=0$ исчезают все резонансы, кроме первого, имеющего место лишь при $H_0=0$. Если $H_0 \neq 0$, то исчезают все резонансы (рис. 5б). С ростом H_2 начинают проявляться вторые, третьи и т.д. резонансы, величина которых зависит от H_2 немонотонно и имеет порог.

При больших H_2 эффект меняется синусоидально спадая несколько с ростом амплитуды переменного поля, рис. 5.

Заключение.

Полученные результаты, по-видимому, могут иметь значение для биологии. Известно, что слабые статические и экстремально низкочастотные магнитные поля эффективно влияют на живые системы: клетки, ткани, физиологические системы и целые организмы. Во многих случаях эти эффекты носят резонансно подобный мультипиковый характер. Мультипиковые отклики или магнетобиологические спектры проявляются при варьировании частоты или амплитуды переменного магнитного поля и амплитуды постоянного поля. По-видимому, эти эффекты являются квантовыми биениями, которые хорошо изучены в случае рекомбинации радикальных пар, и полученные нами результаты могут быть соотнесены с биологическими экспериментами. Динамика радикальных пар такова, что система медленно термализуется, поведение системы долго остаётся динамическим, что и приводит к биениям. Роль радикальных пар может иметь место во многих биологических процессах, связанных с переносом электронов и ионов. Интересно посмотреть, как на этот процесс влияют водородные связи, которых много в ДНК. Вообще говоря, роль радикальных пар проявляется в том, что имеется физическая модель для исследования биологических явлений в магнитных полях. Дальнейшее изучение позволит обобщить и выявить роль исследованных процессов по рекомбинации радикальных пар в биологических процессах.

Авторы признательны Российскому фонду фундаментальных исследований за поддержку (проект № 02-03-32434).

Литература.

1. Чудновский В.М., Леонова Г.Н., Скопинов С.А., Дроздов А.Л., Юсупов В.Н. Биологические модели и физические механизмы лазерной терапии. Владивосток: Дальнаука, 2002, 157 С.
2. Binh V. N., Savin A. V. // Phys. Rev. E., 2002, V. 65, P. 051912–1–10.
3. Девятков Н.Д., Голант М.Б., Бецкий О.В., Миллиметровые волны и их роль в процессах жизнедеятельности. М. Радио и связь. 1991.

4. Коварский В.А.//УФН, 1999. Т. 169, № 8. С. 889 – 908.
5. Дульбинская Д.А.//Физиология растений. 1973. Т. 10, № 1. С. 183 – 186.
6. Аристархов В.М., Пирузян Л.А., Цыбышев В.П.//Реакции биологических систем на магнитные поля. М. Наука. 1978. С. 6 -23.
7. Музалевская Н.И., Шушков Г.Д.//Реакции биологических систем на магнитные поля. М. Наука. 1978. С. 199 -208.
8. Бучаченко А.Л. Физическая химия, ред. Я.М. Колотыркин. М. Химия. 1980. С. 7.
9. Бучаченко А.Л., Сагдеев Р.З., Салихов К.М. Магнитные эффекты в химических реакциях. М. Наука. 1978. 296 С.
10. Frankevich E.L., Kubarev S.I. Triplet State ODMR Spectroscopy. N.Y, J. Wiley & Sons. 1982. P. 137.
11. Steiner U.E., Urlich T.// Chem. Rev. 1989. V. 89. P. 51.
12. Кубарев С. И., Ермакова Е. А., Кубарева И. С., Разинова С. М. // Химическая физика, 2000, т. 19, №3. С. 105 – 112.
13. Ким Ю.А. и др.//Биофизика. 1988. Т. 33, № 1. С. 97 – 100.
14. Кубарев С.И., Ермакова Е.А., Кубарева И.С.// Химическая физика, 1995. Т. 14, № 8. С. 110 -124.
15. Кубарев С.И., Кубарева И.С., Ермакова Е.А.// Химическая физика, 1997. Т. 16, № 6. С. 121 -131.
16. Леднев В. В., Сребрицкая Л. К., Ильясова Е. Н., Рождественская З. Е., Климов. А. А., Белова Н. А., Тирас Х. П. //Биофизика. 1996. Т. 41, №4. С. 815 – 825.